

این مقاله در دومین کنفرانس ملی مهندسی فناوری اطلاعات مکانی به عنوان مقاله برگزیده انتخاب شده است که پس از تکمیل، داوری مجدد و اخذ پذیرش در این شماره از نشریه به چاپ می‌رسد.

بررسی توانایی تصاویر سنجنده مادیس در تخمین تأخیر تروپوسفری در تعیین موقعیت مطلق دقیق

سعید حاجی آقاجانی^۱، بیزان اamerian^{۲*}

-۱ دانشجوی دکتری زئودزی، دانشکده مهندسی نقشه‌برداری، دانشگاه صنعتی خواجه نصیرالدین طوسی
-۲ استادیار دانشکده مهندسی نقشه‌برداری، دانشگاه صنعتی خواجه نصیرالدین طوسی

تاریخ دریافت مقاله: ۱۳۹۶/۰۷/۲۶ تاریخ پذیرش مقاله: ۱۳۹۶/۰۷/۲۶

چکیده

تأخیر امواج به دلیل گذر از لایه تروپوسفر همواره به عنوان عاملی تاثیرگذار در سیستم تعیین موقعیت جهانی مطرح می‌باشد. در این پژوهش ضمن بررسی روش ردیابی اشعه سه بعدی به منظور محاسبه تأخیر ناشی از لایه تروپوسفر، توانایی تصاویر سنجنده مادیس که یک ابزار مطرّح و پرکاربرد در محاسبات جوی می‌باشد، در پیاده‌سازی این الگوریتم و محاسبه تأخیر تروپوسفری در راستای تعیین موقعیت مطلق دقیق، مورد سنجش قرار گرفته است. بدین منظور با انتخاب منطقه‌ای در مرکز اروپا و دریافت تصویری از این سنجنده در آن منطقه در تاریخ ۲۰۰۸/۰۸/۰۱ اقدام به بررسی کارآیی این مشاهدات گردید. علاوه بر این به منظور ارزیابی نتایج بدست آمده، از مشاهدات رادیوسوند موجود در منطقه و همچنین اطلاعات هوشمناسی ERA-Interim استفاده شده است. پس از اعمال تصحیحات بر تصویر و مقداردهی به پیکسل‌های ابری، روش ردیابی اشعه سه بعدی در محل مربوط به یک ایستگاه سیستم تعیین موقعیت جهانی واقع در کشور اتریش، با بکارگیری هر سه نوع داده‌ها پیاده‌سازی شد. بیشینه اختلاف بین تأخیر بدست آمده از تصویر ماهواره‌ای با دو مشاهده دیگر ۲/۹۸ و کمینه آن صفر سانتی‌متر بود. همچنین میزان جذر میانگین مربعات اختلاف بین مشاهدات رادیوسوند و تصویر ماهواره‌ای برابر ۱/۱۱ و جذر میانگین مربعات اختلاف بین داده‌های ERA-Interim و تصویر ماهواره‌ای برابر ۰/۸۹ سانتی‌متر مشاهده شد. در ادامه تعیین موقعیت مطلق دقیق با استفاده از نرم‌افزار برنسیز و با بهره‌گیری از تأخیرهای محاسبه شده از داده‌های مختلف صورت گرفت و با مختصات دقیق ایستگاه مقایسه گردید. دقت موقعیت بدست آمده با تصحیحات تروپوسفری سنجنده مادیس کمتر از دقت موقعیت بدست آمده با تصحیحات تروپوسفری رادیوسوند ERA-Interim است که بیانگر کارآیی کمتر سنجنده مادیس در تصحیح تروپوسفری مشاهدات سیستم تعیین جهانی در تعیین موقعیت مطلق دقیق نسبت به رادیوسوند ERA-Interim است.

واژه‌های کلیدی: تأخیر تروپوسفری، تعیین موقعیت مطلق دقیق، مادیس، داده‌های هوشمناسی، رادیوسوند، ردیابی اشعه سه بعدی

* نویسنده مکاتبه کننده: تهران- خیابان ولی‌عصر- تقاطع میرداماد غربی- دانشگاه صنعتی خواجه نصیرالدین طوسی- دانشکده زئودزی و ژئوماتیک

تلفن: ۸۸۸۷۷۰۷۱ (داخلی: ۳۰۲)

۱- مقدمه

سال ۲۰۱۷ از روش ردیابی اشعه سه بعدی به منظور افزایش دقت روش توموگرافی تروپوسفر استفاده نمودند^[۵]. از آنجایی که دقت این روش وابستگی مستقیم به دقت و قدرت تفکیک زمانی و مکانی شاخص‌های هواشناسی دارد، در این پژوهش بحث استفاده از تصاویر سنجنده مادیس^۳ (*MODIS*) که ابزاری مطرح و پرکاربرد در راستای تخمین شاخص‌های جوی می‌باشد مطرح شده است.

در این پژوهش ابتدا روش‌های مختلف محاسبه تأخیر تروپوسفری را از نظر خواهیم گذراند. در ادامه با استفاده از روش ردیابی اشعه سه بعدی به محاسبه تأخیر تروپوسفری با استفاده از تصاویر سنجنده مادیس و مشاهدات رادیوسوند و داده‌های *ERA-Interim* پرداخته خواهد شد. سپس با استفاده از تأخیرهای بدست آمده و با بکارگیری مشاهدات ایستگاه *GPS* واقع در محل، عملیات تعیین موقعیت مطلق دقیق صورت گرفته و در نهایت نتایج بدست آمده با یکدیگر مقایسه خواهند شد.

۲- تأخیر تروپوسفری و روش‌های محاسبه آن
میزان تأخیر انتشار سیگنال در عبور از لایه تروپوسفر طبق رابطه (۱) برابر با اختلاف بین طول مسیر واقعی و طول مسیر هندسی می‌باشد که در شکل (۱) نشان داده شده است^[۶].

$$d_{trop} = \int_{ray} nds - \int_{vac} ds \quad (1)$$

با در نظر گرفتن G به عنوان مسیر هندسی موج الکترومغناطیس و اعمال آن، رابطه تأخیر به صورت رابطه (۲) خواهد بود^[۵]:

$$d_{trop} = \int_{ray} (n-1)ds = 10^{-6} \int_{ray} N_{trop} ds \quad (2)$$

در تکنیک‌های تعیین موقعیت ماهواره‌ای، تأخیر ناشی از لایه تروپوسفر همچنان به عنوان عاملی تاثیرگذار در نتایج حاصل مطرح می‌باشد. مؤلفه خشک تأخیر تروپوسفری، متأثر از دما و فشار و مؤلفه تر آن، علاوه بر وابستگی به دما و فشار، تابعی از میزان رطوبت در طول مسیر سیگنال ارسالی از ماهواره می‌باشد. تغییرات زمانی و مکانی شاخص‌های هواشناسی چه در سطح و چه در لایه‌های بالایی جو باعث می‌شود که این خطای سادگی قابل محاسبه نباشد. متداول‌ترین راه حل این مسئله استفاده از توابع نگاشت می‌باشد که توسط محققین گوناگون طیف وسیعی از این توابع پیشنهاد شده است. اما در سال‌های اخیر روش ردیابی اشعه^۱ به عنوان راه حلی متفاوت به منظور محاسبه تأخیر تروپوسفری مطرح شده است. در این روش مسیر اشعه بین گیرنده و فرستنده تعیین می‌شود و مبنای این برآورد، شاخص‌های هواشناسی مانند درجه حرارت، فشار و فشار بخار آب می‌باشد. قدمت مفهوم ردیابی اشعه به چند دهه می‌رسد. تایر در سال ۱۹۶۷ با استفاده از یک مدل هندسی ساده و ترکیب آن با قانون اسنل، مدل ساده‌ای به لحاظ محاسباتی بدست آورد که روش ردیابی اشعه دو بعدی نامیده می‌شود^[۱]. هابیگر و همکاران در سال ۲۰۰۸ ایده استفاده از روش ردیابی اشعه سه بعدی بر مبنای معادلات آیکونال^۲ به منظور محاسبه تأخیر تروپوسفری را ارائه دادند^[۲]. همچنین هابیگر در سال ۲۰۱۰ و نفیسی و همکاران در سال ۲۰۱۲ برای اولین بار از داده‌های رادیوسوند و مدل‌های عددی هواشناسی به منظور انجام ردیابی اشعه استفاده نمودند^[۳ و ۴]. هافمایستر در سال ۲۰۱۶ یکی از مهمترین و جامع‌ترین منابع را در تئوری روش‌های ردیابی اشعه ارائه نمود^[۴]. همچنین حاجی آقاجانی و عامریان در

¹Ray tracing²Eikonal equations³Moderate Resolution Imaging Spectroradiometer

تروپوسفری را در راستای قائم ایستگاه، با روابط (۴) و (۵) ارائه کرد [۶]:

$$d_h^z = \frac{0.002277 P_s}{(1 - 0.0026 \cos 2\varphi - 0.00000028 H_s)} \quad \text{رابطه (۴)}$$

$$d_w^z = 0.002277 \left(\frac{1255}{T_s} + 0.05 \right) e_s \quad \text{رابطه (۵)}$$

در روابط فوق P_s فشار جو در ایستگاه بر حسب میلی‌بار، e_s فشار بخار آب بر حسب میلی‌بار، T_s دما در ایستگاه بر حسب کلوین و φ عرض جغرافیایی ایستگاه می‌باشد. مجموع دو تأخیر بدست آمده میزان تأخیر تروپوسفری را در راستای قائم به دست می‌دهند. روش دیگر محاسبه خطای تأخیر تروپوسفری، معرفی کامل خطای تروپوسفری به عنوان مجھول در معادلات مشاهدات و برآورد آن همراه با سایر مجھولات (مانند موقعیت نقاط شبکه) است. از آنجایی که تأخیر تروپوسفری کمیت‌هایی وابسته به شاخص‌های جوی است و این شاخص‌ها کمیت‌هایی وابسته به زمان و مکان‌اند، تأخیر تروپوسفری نیز تابعی از زمان و مکان است [۷]. اما جدیدترین راه حل برای محاسبه تأخیر تروپوسفری، روش ردیابی اشعه می‌باشد که بطور کلی به روش‌های دوبعدی و سه‌بعدی تقسیم می‌شود. در روش دوبعدی مسیر اشعه صرفاً در یک صفحه با آزمیوت ثابت در نظر گرفته شده ولی در روش سه‌بعدی این امکان برای اشعه در نظر گرفته می‌شود که در سه جهت آزادی عمل داشته باشد. روش سه‌بعدی با واقعیت مسئله تروپوسفر تطابق بیشتری دارد [۱ و ۲].

در رابطه اخیر N_{trop} انکسار پذیری^۱ نامیده می‌شود. انکسار پذیری را می‌توان طبق رابطه (۳) به دو مؤلفه خشک N_d^{trop} و تر N_w^{trop} تقسیم کرد [۵]:

$$N^{trop} = N_d^{trop} + N_w^{trop} \quad \text{رابطه (۳)}$$

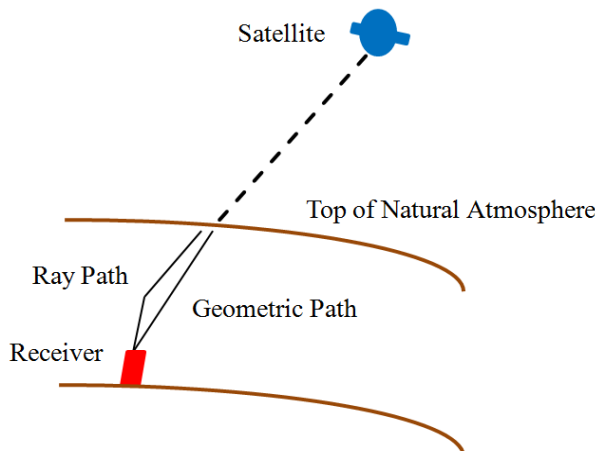
مؤلفه خشک انکسار پذیری ناشی از بخش هیدرواستاتیک^۲ جو و مؤلفه تر آن ناشی از بخش غیر هیدرواستاتیک^۳ جو می‌باشد. به این ترتیب، تأخیر تروپوسفری از دو تأثیر خشک و تأثیر تر تشکیل می‌شود که حدود ۹۰ درصد تأخیر تروپوسفری ناشی از بخش خشک می‌باشد [۶].

در حال حاضر از سه روش عمده برای مدل سازی تروپوسفر جهت تصحیح این تأخیر استفاده می‌شود. مدل‌های پیش‌بینی جهانی، تخمین تأخیر تروپوسفری به عنوان مجھول و روش ردیابی اشعه از جمله روش‌های مورد استفاده می‌باشند. در این بخش به جزئیاتی در مورد سه روش عمده ذکر شده در برآورد خطای مورد بحث پرداخته شده است. تحقیقات بسیاری در زمینه تولید مدل‌های تروپوسفری برای محاسبه انکسار پذیری (N) در طول مسیر سیگنال صورت گرفته است که از مهم‌ترین آن‌ها می‌توان به مدل هاپفیلد در سال ۱۹۶۹ و مدل سستامین در سال ۱۹۷۳ اشاره کرد. تفاوت عمده مدل‌های پیش‌بینی جهانی در پروفیل انکسار پذیری، نحوه نگاشت تأخیر عمودی محاسبه شده در راستای زاویه ارتفاعی ماهواره است. مدل سستامین یکی از رایج‌ترین و اجرایی‌ترین مدل‌های پیش‌بینی می‌باشد. این مدل برگرفته از قانون گازها بوده و مدلی استاندارد است. این مدل برای تخمین تأخیر تروپوسفری در زوایای ارتفاعی بزرگ‌تر از ۱۰ درجه معتبر می‌باشد. سستامین در سال ۱۹۳۷ میلادی دو مؤلفه خشک (d_w^z) و d_h^z و تر

¹Refractivity

²Hydrostatic

³Non-hydrostatic



شکل ۱: شکست مسیر موج ارسالی به دلیل عبور از لایه‌هایی با ضریب شکست متفاوت [۶]

رابطه (۱۱) خواهد شد که در آن r مسیر سه بعدی اشعه و برابر فاصله شعاعی از مرکز زمین، θ متمم عرض جغرافیایی و λ طول جغرافیایی است. با انجام مشتقات در سیستم مختصات کروی به فرم زیر خواهد رسید:

$$du = ds \Rightarrow a = 1 \quad \text{رابطه (۱۰)}$$

$$\text{رابطه (۱۱)}$$

$$H(r, \theta, \lambda, L_r, L_\theta, L_\lambda) \equiv \left(L_r^2 + \frac{1}{r^2} L_\theta^2 + \frac{L_\lambda^2}{r^2 \sin^2 \theta} \right)^{\frac{1}{2}} - n(r, \theta, \lambda)$$

در این رابطه n پارامتر ضریب شکست است که تابعی از سه مولفه مختصات کروی است و $L_r = \frac{\partial L}{\partial r}$ و $L_\theta = \frac{\partial L}{\partial \theta}$ می‌باشد. با استفاده از روابط ذکر شده و مشتق‌گیری از فرم همیلتونی به روابط زیر خواهیم رسید [۲ و ۵]:

$$\frac{dr}{ds} = \frac{1}{B} L_r \quad \text{رابطه (۱۲)}$$

$$\frac{d\theta}{ds} = \frac{1}{B} \frac{L_\theta}{r^2} \quad \text{رابطه (۱۳)}$$

$$\frac{d\lambda}{ds} = \frac{1}{B} \frac{L_\lambda}{r^2 \sin^2 \theta} \quad \text{رابطه (۱۴)}$$

$$\frac{dL_r}{ds} = \frac{\partial n(r, \theta, \lambda)}{\partial r} + \frac{1}{Br} \left(\frac{L_\theta^2}{r^2} + \frac{L_\lambda^2}{r^2 \sin^2 \theta} \right) \quad \text{رابطه (۱۵)}$$

$$\frac{dL_\theta}{ds} = \frac{\partial n(r, \theta, \lambda)}{\partial \theta} + \frac{1}{B} \left(\frac{L_\lambda^2}{r^2 \sin^3 \theta} \right) \quad \text{رابطه (۱۶)}$$

با توجه به آنچه گفته شد رדיابی اشعه به دو صورت کلی دوبعدی و سه بعدی قابل انجام است. در رדיابی اشعه دوبعدی مسیر اشعه صرفاً در یک صفحه با آزیمут مشخص در نظر گرفته می‌شود [۱]. در روش دوبعدی با در نظر گرفتن یک سیستم مختصات محلی و استفاده از روابط مثلثاتی مسیر اشعه در بین هر لایه مشخص شده و در نهایت تأخیر بدست می‌آید. بطور کلی روش رדיابی اشعه یک روش تکراری است. به بیان دیگر با یکبار انجام رדיابی اشعه از پایین ترین لایه تا بالاترین لایه تروپوسفر نمی‌توان به جواب مورد نظر دست یافت.

روش رדיابی اشعه سه بعدی بر پایه معادلات آیکنال اشعه در سیستم مختصات مورد نظر است که فرم همیلتونی معادلات آیکنال به صورت روابط (۶، ۷، ۸ و ۹) می‌باشد [۲]:

$$H(r, \nabla L) \equiv \frac{1}{a} \left\{ (\nabla L \cdot \nabla L)^{\frac{a}{2}} - n(r)^a \right\} = 0 \quad \text{رابطه (۶)}$$

$$\frac{dr_i}{du} = \frac{\partial H}{\partial \nabla L_i} \quad \text{رابطه (۷)}$$

$$\frac{d\nabla L_i}{du} = - \frac{\partial H}{\partial r_i} \quad \text{رابطه (۸)}$$

$$\frac{dL_i}{du} = \nabla L_i \cdot \frac{\partial H}{\partial \nabla L_i} \quad \text{رابطه (۹)}$$

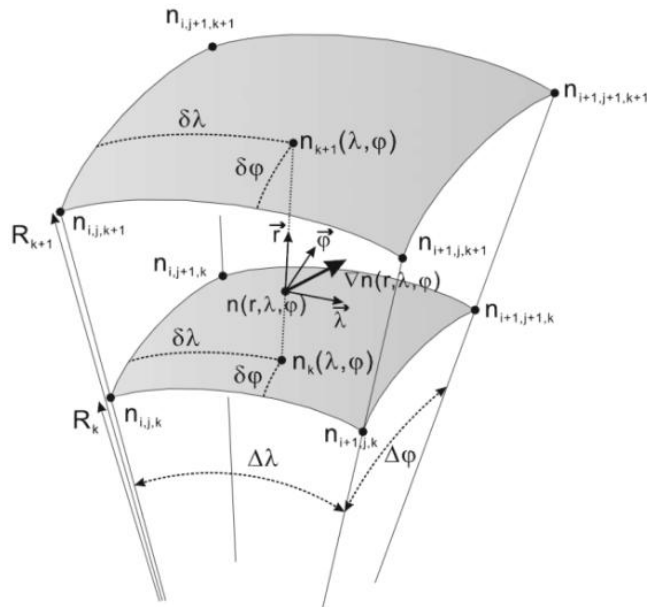
با در نظر گرفتن مقادیر رابطه (۱۰)، فرم همیلتونی معادلات آیکنال در سیستم مختصات کروی به صورت

روابط می‌بایست بصورت همزمان حل شوند. در شکل(۳) نمایی کلی از روش ردیابی اشعه سه‌بعدی ملاحظه می‌شود [۲۵].

$$\frac{dL_\theta}{ds} = \frac{\partial n(r, \theta, \lambda)}{\partial \theta} + \frac{1}{B} \left(\frac{L_\lambda^2}{r^2 \sin^3 \theta} \right) \quad (16)$$

$$\frac{dL_\lambda}{ds} = \frac{\partial n(r, \theta, \lambda)}{\partial \lambda} \quad (17)$$

$$B = \left(L_r^2 + \frac{1}{r^2} L_\theta^2 + \frac{L_\lambda^2}{r^2 \sin^2 \theta} \right)^{\frac{1}{2}} = n(r, \theta, \lambda) \quad (18)$$



شکل ۲: ردیابی اشعه سه‌بعدی [۲]

$$T_v = \frac{T.P}{P - (1 - \frac{M_v}{M_d})e} \quad (20)$$

$$e_{int} = e_i \exp\left(\frac{h_{int} - h_i}{C}\right) \quad (21)$$

$$C = e_i \exp\left(\frac{h_{i+1} - h_i}{\log\left(\frac{e_i + 1}{e_i}\right)}\right) \quad (22)$$

در این روابط P_{int} فشار در لایه میانی، P_i فشار در لایه زیرین، h_{int} ارتفاع در لایه میانی، g_m شتاب ثقل متوسط، T_v دمای مجازی، e فشار بخار آب، M_v وزن مولکولی هوای مرطوب و M_d وزن مولکولی هوای مرطوب می‌باشند. به منظور انجام ردیابی اشعه فاصله ارتفاعی لایه‌ها مطابق جدول(۱) درنظر گرفته می‌شوند [۹]:

با توجه به اینکه بیشترین میزان تأخیر تروپوسفر مربوط به لایه‌های نزدیک به زمین می‌باشد، بایستی فواصل ارتفاعی بین لایه‌ها در مجاورت زمین کمتر و تعداد لایه‌ها بیشتر در نظر گرفته شود و همین‌طور که به لایه‌های بالاتر تروپوسفر نزدیک می‌شویم فاصله‌های موجود در سطوح فشاری مختلف، شاخص‌های هواشناسی اعم از فشار و فشار بخار آب و دما در این لایه‌ها می‌بایست درونیابی شوند. برای دما یک درونیابی خطی خواهیم داشت ولی برای فشار و فشار بخار آب با توجه به اینکه نسبت به افزایش ارتفاع یک نرخ تقریباً نمایی وجود دارد، می‌توان از روابط (۱۹) تا (۲۲) بدین منظور استفاده نمود [۸]:

$$P_{int} = P_i \exp\left(-\frac{(h_{int} - h_i)g_m}{R_d T_v}\right) \quad (19)$$

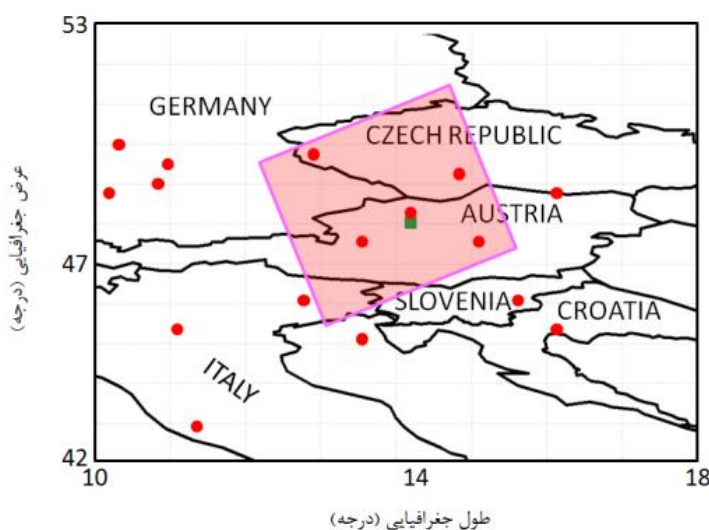
۳- منطقه مورد مطالعه و داده‌ها

همان‌طور که در قسمت مقدمه ذکر شد به‌منظور انجام پردازش‌های این پژوهش علاوه بر تصاویر سنجنده مادیس نیازمند استفاده از مشاهدات رادیوسوند و داده‌های هواشناسی ERA-Interim نیز می‌باشیم. به همین علت می‌بایست زمانی را برای استخراج مشاهدات در نظر بگیریم که هر دو نوع داده از لحاظ کیفیت و کمیت در بهترین شرایط ممکن قرار داشته باشند. با توجه به وسعت تصاویر ماهواره‌ای، نیازمند انتخاب منطقه‌ای هستیم که تعداد ایستگاه‌های رادیوسوند آن به تعدادی باشد که بتواند تا حد امکان منطقه مربوط به تصویر را پوشش دهد. به همین علت منطقه‌ای در مرکز قاره اروپا انتخاب شد که موقعیت آن در شکل (۳) قابل مشاهده است. با توجه به تعداد مشاهدات رادیوسوند در روزهای مختلف و همچنین کمینه بودن پیکسل‌های ابری، تصویر ماهواره‌ای روز ۰۱/۰۸/۲۰۰۸ انتخاب شد.

جدول ۱: فاصله ارتفاعی لایه‌ها به منظور انجام درونیابی ارتفاعی [۹]

ارتفاع (کیلومتر)	فاصله ارتفاعی بین لایه‌ها (متر)
۰ تا ۲	۱۰
۲ تا ۶	۲۰
۶ تا ۱۶	۵۰
۱۶ تا ۳۶	۱۰۰
۳۶ تا ۷۶	۵۰۰

با انجام ردبایی اشعه و به‌دست آوردن مختصات اشعه در هر لایه می‌بایست برای این نقاط شکست‌پذیری محاسبه شود که برای این کار احتیاج به یک درونیابی افقی با استفاده از نقاط گردید داریم تا با استفاده از آن شکست‌پذیری را برای نقطه مورد نظر بدست آوریم. درونیابی پیشنهادی با استفاده از مطالعات انجام شده قبلی روش درونیابی اسپلاین توصیه شده است [۳].



شکل ۳: محدوده در نظر گرفته شده به منظور برش تصاویر ماهواره‌ای. دایره‌های قرمز نماد ایستگاه‌های رادیوسوند و مربع سبز نشان‌دهنده موقعیت ایستگاه GPS می‌باشند.

ارائه می‌دهد. این سنجنده ۳۶ باند طیفی در محدوده ۰/۴ تا ۱۴/۴ میکرون دارد. قدرت تفکیک مکانی دو باند اول این سنجنده ۲۵۰ متر، ۵ باند بعدی ۵۰۰ متر و

سنجنده مادیس که متعلق به ایالات متحده است، بر روی دو ماهواره TERRA و AQUA نصب شده است که دو بار در روز مشاهدات خود را از لایه‌های جو زمین

شاخص‌ها در لایه‌های مختلف جو است [۱۰]. جدول (۲) حاوی اطلاعات مربوط به تصویر مورد استفاده در این پژوهش می‌باشد.

سایر باندهای آن ۱۰۰۰ متر است. معمولاً چهار باند ۲ و ۱۷ و ۱۸ و ۱۹ آن برای پهنگندی بخارآب مورد استفاده قرار می‌گیرد. تصویر مورد استفاده در این پژوهش محصول سطح ۲ جوی می‌باشدند. این سنجنده جزو پرکاربردترین منابع سنجش از دور برای استخراج

جدول ۲: اطلاعات مربوط به تصویر مورد استفاده

تعداد باند عبوری	تعداد باند جذبی	قدرت تفکیک مکانی (متر)	تاریخ	ماهواره
۳	۳	۲۵۰	۲۰۰۸/۰۸/۰۱	AQUA

جغرافیایی ۰ تا ۳۵۹/۲۵ درجه را شامل می‌شوند. قدرت تفکیک زمانی آن‌ها ۶ ساعت است و اطلاعات را در ۳۷ لایه فشاری و در ساعات ۶ صبح، ۱۲ ظهر، ۶ بعدازظهر و ۱۲ شب دربردارند [۵].

همچنین مشاهدات مربوط به یک ایستگاه سیستم تعیین موقعیت جهانی^۲ (GPS) در کشور اتریش نیز به منظور پیاده‌سازی روش ردیابی اشعه و عملیات تعیین موقعیت مطلق دقیق در تاریخ ۲۰۰۸/۰۸/۰۱ فراهم آورده شد که موقعیت آن در شکل (۴) قابل مشاهده است.

۴- پردازش

تصاویر سنجنده مادیس با فرمت hdf. در اختیار هستند زیرا این فرمت جزو فرمتهای اصلی و استانداردهای سازمان فضایی اروپا می‌باشد. برای پردازش تصاویر از نرم‌افزار ENVI استفاده می‌شود ولی قبل از آن می‌بایست تصویر مورد نظر به عنوان یک فایل خارجی از نوع AQUA و از سنجنده مادیس خوانده شود. اگر پس از انجام این روند بطور مستقیم تصویر را وارد نرم‌افزار کنیم داده‌های بخارآب بصورت اعدادی بین ۰ تا ۱۲۸ خوانده می‌شوند که معنای خاصی نمی‌دهد به همین دلیل از یک نرم‌افزار واسطه به نام HDFLook استفاده شد که محیط آن در شکل (۴) ملاحظه می‌شود. با استفاده از این نرم‌افزار طیف‌های مختلف تصویر در

مشاهدات مورد استفاده دیگر در این مقاله داده‌های رادیوسوند می‌باشد. رادیوسوندها مجموعه‌ای از سنسورها و ابزارهایی است که توسط یک بالن برای اندازه‌گیری شاخص‌های جوی به لایه‌های بالای جو فرستاده می‌شوند. اندازه‌گیری فشار و درجه حرارت با فاصله زمانی دو ثانیه انجام می‌شود ولی بهدلیل مشکلاتی، تنها اندازه‌گیری‌های برخی سطوح و به شکل نامنظم ذخیره می‌شوند. داده‌های رادیوسوند معمولاً در قالب فرمت FSL ارائه می‌شوند. این اطلاعات عبارتند از فشار، ارتفاع، دما، نقطه شبنم و سرعت باد که در بهترین حالت با قدرت تفکیک زمانی ۱۲ ساعت ارائه می‌شوند [۱۱].

علاوه بر مشاهدات رادیوسوند در این مقاله از داده‌های باز تحلیل شده^۱ ERA-Interim به منظور کشف مشاهدات در تصاویر ماهواره‌ای استفاده خواهیم کرد. این داده‌ها ناشی از آخرین آنالیز دوباره جو است که از سال ۱۹۸۹ آغاز شد و تاکنون ادامه دارد. این داده‌ها مجموعه‌ای از شاخص‌های هواشناسی از ژانویه ۱۹۸۹ تاکنون را دربردارد. فاصله مکانی آن‌ها از ۰/۱ درجه تا ۳ درجه متغیر است. همچنین حدود ۳۰۰ شاخص از جمله رطوبت نسبی، دما، فشار را در فرمتهای مانند NetCDF در اختیار کاربران قرار می‌دهند. این داده‌ها از عرض جغرافیایی ۸۹/۴۲۵ تا ۸۹/۴۲۵ درجه و از طول

² Global Positioning System

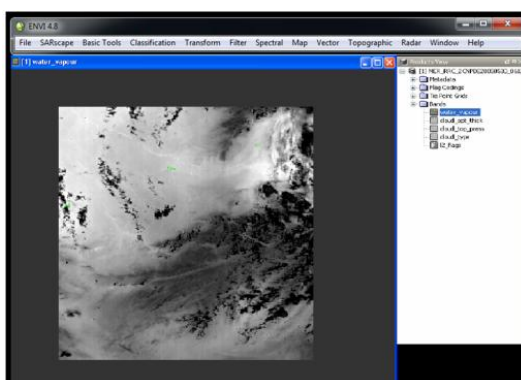
¹ Reanalyses

تصویر بخارآب سطحی در شکل (۵) قابل مشاهده می‌باشد.

سطحه مختلف را جداسازی کرده و مقادیر محاسبه شده با فرمت ENVI ذخیره و به نرم افزار ENVI وارد شدند. پس از وارد کردن نتایج به نرم افزار ENVI می‌توان طیفهای مختلف موردنظر را مشاهده نمود.



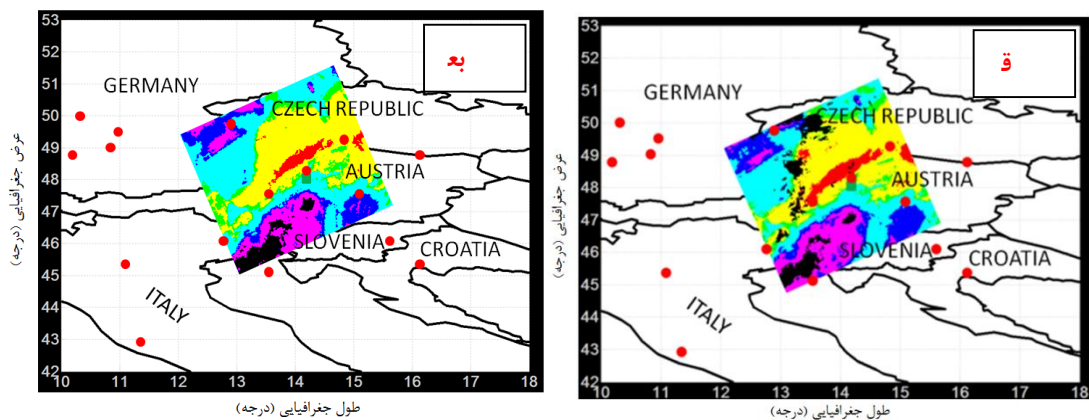
شکل ۴: محیط نرم‌افزار *HDFLook*



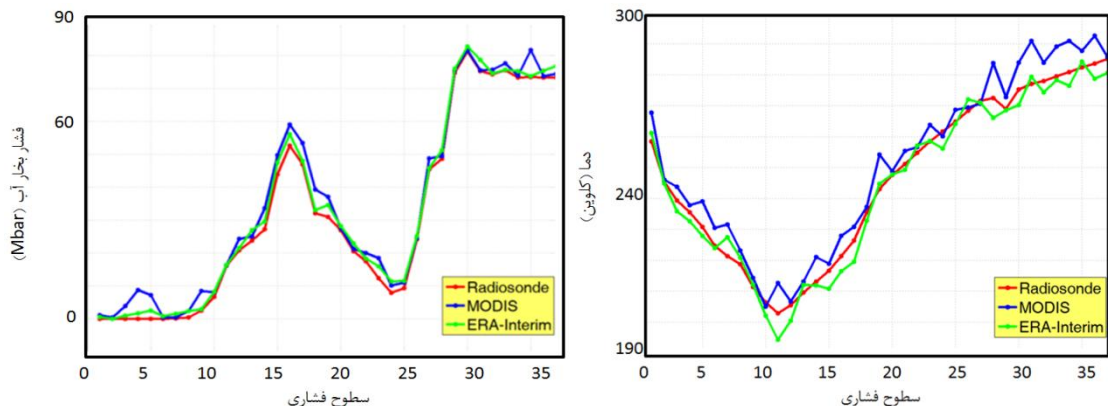
شکل ۵: تصویر بخارآب در نرم‌افزار ENVI پس از جداسازی

تصویر بخارآب قبل از انجام این مراحل در شکل (۶) تصویر بخارآب می‌باشد. در شکل (۶) تصویر بخارآب قبل از انجام این مراحل در مختصات مربوط به ایستگاه GPS تمامی مشاهدات بر اساس اصول درونیابی ذکر شده در بخش ۲ مقداردهی شدند. در شکل (۷) مقایسه بین دما و فشار بخارآب به دست آمده از داده‌های مختلف، نشان داده شده است. شاخص‌های آماری مربوط به دو شاخص دما و فشار بخارآب در جدول (۳) آورده شده است. در شکل (۸) نمودار مربوط به اختلاف بین نتایج مشاهده می‌شود.

یکی از مشکلات همیشگی موجود در تصاویر سنجنده‌های هواشناسی وجود پیکسل‌های ابری می‌باشد که قبل از هرگونه استفاده از تصاویر می‌بایست رفع شوند. بدین منظور ابتدا پیکسل‌های ابری مشخص شدند و سپس به کمک نرم‌افزار RTACI مقدار بخارآب نقاط ابری به کمک روشهای میانگین وزن‌دار و براساس پروفیل قائم و افقی مشاهدات عمل می‌نماید تخمین زده شد. نقاطی که در مرحله درونیابی غیرقابل اظهارنظر تشخیص داده شدند به کلی کنار گذاشته شدند. فرمت واسطه این نرم‌افزار ENVISstandard و یا



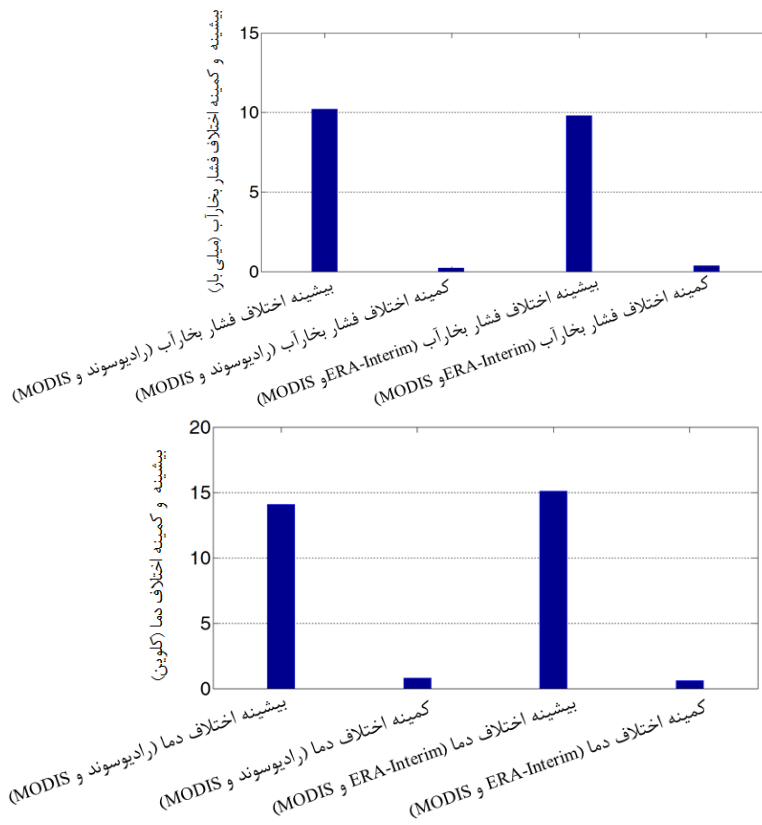
شکل ۶: تصویر بخارآب قبل از مقداردهی و بعد از مقداردهی



شکل ۷: دما و بخارآب محاسبه شده در سطوح فشاری

جدول ۳: شاخص‌های آماری مربوط به دو شاخص دما و فشار بخارآب

کمینه	بیشینه	شاخص	نوع داده
۲۰۳/۰۸	۲۸۵/۹۲	دما (کلوین)	رادیوسوند
۰/۰۰	۸۰/۱۲	فشار بخارآب (میلی‌بار)	رادیوسوند
۱۹۵/۹۲	۲۸۵/۹۱	دما (کلوین)	ERA-Interim
۰/۰۰	۸۰/۲۷	فشار بخارآب (میلی‌بار)	ERA-Interim
۲۰۵/۱۴	۲۹۳/۲۶	دما (کلوین)	MODIS
۰/۰۰	۸۰/۱۵	فشار بخارآب (میلی‌بار)	MODIS



شکل ۸: نمودار مربوط به اختلاف بین شاخص‌های فشار بخارآب و دما

آن در شکل ۱۰ قابل مشاهده است. شاخص‌های آماری نتایج در جدول (۴) مشاهده می‌شود. اختلاف بین نتایج و شاخص‌های آماری مربوط به آن در جدول (۵) و شکل (۹) مشاهده می‌شود.

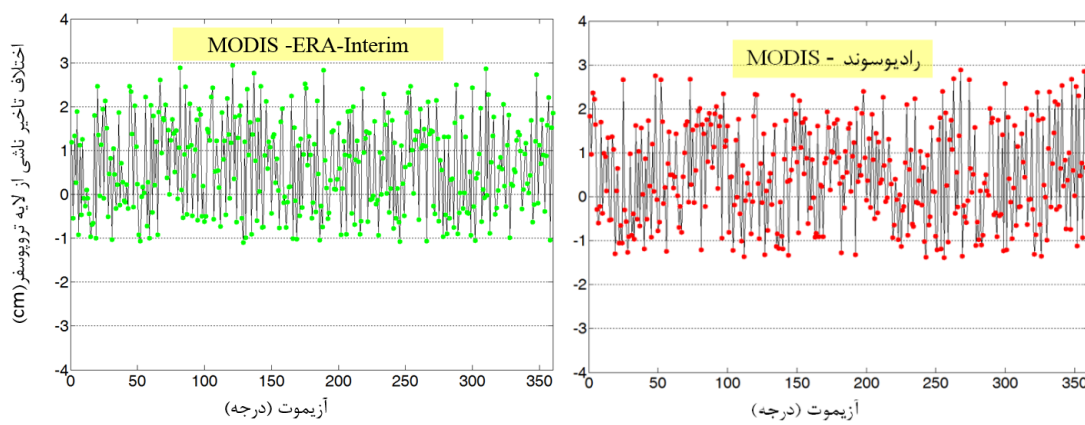
در نهایت باستفاده از روش ذکر شده در بخش (۲)، تأخیر ناشی از لایه تروپوسفر با استفاده از روش ریدیابی اشعه سه‌بعدی و در آزمیوت‌های متفاوت از صفر تا ۳۶۰ درجه با توجه به زاویه تابش امواج محاسبه شد که نتایج

جدول ۴: شاخص‌های آماری مربوط به تأخیر کلی حاصل از روش ریدیابی اشعه با استفاده از سه منبع داده

انحراف معیار تأخیر کلی بدست آمده (متر)	کمینه تأخیر کلی بدست آمده (متر)	بیشینه تأخیر کلی بدست آمده (متر)	مشاهدات
۰,۰۲۳	۲۵,۶۲	۲۵,۷۸	رادیوسوند
۰,۰۳۹	۲۵,۵۷	۲۵,۷۳	ERA-Interim
۰,۰۵۳	۲۵,۴۱	۲۵,۶۸	MODIS

جدول ۵: شاخص‌های آماری مربوط به اختلاف بین تأخیر بدست آمده از داده‌ها

جذر میانگین مربعات اختلاف تأخیر بدست آمده از داده (میلیمتر)	کمبینه اختلاف تأخیر بدست آمده از داده (میلیمتر)	بیشینه اختلاف تأخیر بدست آمده از داده (میلیمتر)	مشاهدات
۱,۱۱	۰,۰۱	۲,۷۱	رادیوسوند - MODIS
۰,۸۹	۰,۰۰	۲,۹۸	MODIS - ERA-Interim

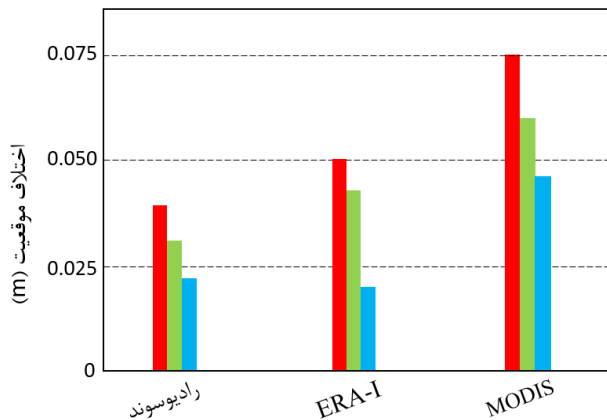


شکل ۹: اختلاف بین تأخیر کلی بدست آمده از روش رדיابی اشعه سه بعدی برای سه نوع مشاهده

نتایج نشان‌دهنده اهمیت تأخیر لایه تروپوسفر در محاسبات تعیین موقعیت می‌باشد. اختلاف بین مختصات دقیق و مختصات حاصل از اعمال تصحیحات تروپوسفری به روش رديابي اشعه با داده‌های رادیوسوند ERA-Interim برابر 372 ± 0.0493 متر، با داده‌های هواشناسی ERA-Interim، با داده‌های سنجنده مادیس برابر با 781 ± 0.0781 متر مشاهده شد. با توجه به دقت موقعیت ایستگاه که برابر ۱۶ میلیمتر می‌باشد، اختلاف بین نتایج بدست آمده با بکارگیری سنجنده مادیس نسبت به سایر روش‌ها، از لحاظ آماری معنادار می‌باشد.

به منظور مقایسه و بررسی نتایج داده‌های مختلف در تعیین موقعیت مطلق دقیق، ابتدا تأخیر مربوط به لایه تروپوسفر مجھول فرض شده و به همراه موقعیت ایستگاه GPS، با استفاده از نرم‌افزار برنیز^۱ تعیین گردید. موقعیت بدست آمده در این حالت به عنوان موقعیت دقیق ایستگاه در نظر گرفته شد. در ادامه تصحیحات تروپوسفری بدست آمده از روش رديابي اشعه با استفاده از تصاویر سنجنده، مشاهدات رادیوسوند و داده‌های هواشناسی ERA-Interim به فایل مشاهدات GPS اعمال شد و تعیین موقعیت در این سه حالت نیز انجام گرفت. اختلاف بین سنجنده، مشاهدات رادیوسوند و داده‌های هواشناسی ERA-Interim به فایل مشاهدات GPS اعمال شد و تعیین موقعیت در این سه حالت در شکل (۱۰) قابل مشاهده می‌باشد.

^۱ Bernese



شکل ۱۰: اختلاف بین موقعیت به دست آمده در روش‌های مختلف با موقعیت محاسبه شده در حالت مجھول فرض کردن خطای تروپوسفر در نرمافزار (ستون قرمز: اختلاف در موقعیت سه‌بعدی، ستون سبز: اختلاف موقعیت مسطحاتی و ستون آبی: اختلاف در موقعیت ارتفاعی)

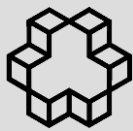
درجه کلوین و بیشینه اختلاف در فشار بخارآب در حدود ۱۰ میلی‌بار مشاهده شد. پس از این مرحله به سراغ پیاده‌سازی روش ردیابی اشعه رفتیم و نتایج را بررسی نمودیم. بیشینه اختلاف بین تأخیر به دست آمده از تصویر ماهواره‌ای با دو مشاهده دیگر ۲/۹۸ سانتی‌متر و کمینه آن صفر بود. همچنین میزان جذر میانگین مربعات اختلاف بین مشاهدات رادیوسوند و تصویر ماهواره‌ای برابر ۱/۱۱ و برای جذر میانگین مربعات اختلاف بین داده‌های ERA-Interim و تصویر ماهواره‌ای برابر ۰/۸۹ سانتی‌متر بود. به منظور بررسی دقیق‌تر کارایی سنجنده، عملیات تعیین موقعیت مطلق دقیق با کمک نرمافزار Bernese ابتدا با مجھول در نظرگرفتن تأخیر تروپوسفری و سپس با کمک تصحیحات محاسبه شده از هر سه نوع داده صورت گرفت. نتایج حاصل نشان‌دهنده این مهم بود که با توجه به دقت تعیین موقعیت مطلق، اختلاف بین موقعیت بدست آمده از طریق سنجنده مادیس با سایر روش‌ها از لحاظ آماری معنادار می‌باشد. در نهایت می‌توان نتیجه گرفت که اگرچه سنجنده مادیس یک سنجنده قوی در مطالعات جوی و سنجش از دور می‌باشد ولی تصحیح تروپوسفری حاصل از آن از دقت کمتری نسبت به تصحیح تروپوسفری حاصل از رادیوسوند و ERA-Interim در تعیین موقعیت مطلق دقیق برخوردار است.

۵- بحث و نتیجه‌گیری

هدف این پژوهش بررسی کارآبی سنجنده مادیس در محاسبه تأخیر ناشی از لایه تروپوسفر و در کنار آن بکارگیری روش ردیابی اشعه سه‌بعدی بود. بهمنظور سنجش اعتبار نتایج، از مشاهدات رادیوسوند و همچنین داده‌های ERA-Interim استفاده شد. برای انجام پردازش‌ها با توجه به تعداد مشاهدات و تطابق زمانی و مکانی آن‌ها، بخشی از مرکز قاره اروپا انتخاب شد و یک تصویر سنجنده مادیس در منطقه موردنظر که کیفیت مناسبی از لحاظ تعداد مشاهدات رادیوسوند در آن وجود داشت، انتخاب شد. علاوه بر آن به منظور پیاده‌سازی روش ردیابی اشعه نیاز به مشاهدات یک ایستگاه GPS در منطقه موردنظر بود، که یک ایستگاه در منطقه انتخاب گردید. پس از تهیه داده‌ها، نیاز به آماده‌سازی تصویر ماهواره‌ای بود که این امر با استفاده از نرمافزار HDFLook صورت پذیرفت و ادامه پردازش‌ها در نرمافزار ENVI انجام گرفت. سپس با کمک نرمافزار RTACI و براساس میانگین‌گیری وزن‌دار، مقدار بخارآب در پیکسل‌های ابری تعیین شد. در ادامه کار بهمنظور انجام مقایسه بین شاخص‌های سه نوع مشاهده موجود، مقادیر مشاهدات را در محل ایستگاه GPS موجود درونیابی کرده و نتایج برای ۳۷ لایه فشاری مقایسه شدند. بیشینه اختلاف دمای مشاهدات به دست آمده از سنجنده با داده‌های دیگر در حدود ۱۷

مراجع

- [1] G.D. Thayer, "A rapid and accurate ray tracing algorithm for a horizontally stratified atmosphere", *Radio Science*, Vol. 1, No. 2, 1967.
- [2] T. Hobiger, R. Ichikawa, Y. Koyama and T. Kondo, "Fast and accurate ray-tracing algorithms for real-time space geodetic applications using numerical weather models", *Journal of Geophysical Research* 113, 2008.
- [3] V. Nafisi, M. Madzak, J. Böhm, A.A. Ardalan, and H. Schuh, H., "Ray-traced tropospheric delays in analysis", *Radio Science* 47, 2012.
- [4] A. Hofmeister, "Determination of path delays in the atmosphere for geodetic VLBI by means of ray-tracing" PhD thesis, Department of Geodesy and Geoinformation, TU Wien, 2016.
- [5] S. Haji-Aghajany and Y. Amerian, "Three dimensional ray tracing technique for tropospheric water vapor tomography using GPS measurements", *Journal of Atmospheric and Solar-Terrestrial Physics*. 164, 81-88, 2017.
- [6] J. Saastamoinen, "Contributions to the Theory of Atmospheric Refraction", *Bulletin Geodesique*, 105, pp.279-298, 106, pp. 383-397, 107, pp. 113-134, Printed in three parts, 1973.
- [7] J. Böhm and H. Schuh, "Vienna Mapping Functions", *Proceedings of the 16th Working Meeting on European VLBI for Geodesy and Astrometry*, Leipzig, Verlag des Bundesamtes für Kartographie und Geodäsie, pp. 131 – 143, 2003.
- [8] J.M. Wallace, and P.V. Hobbs, "Atmospheric science: an introductory survey (Vol. 92)", Academic press, 2006.
- [9] C. Rocken, S. Sokolovskiy, J.M. Johnson and D. Hunt, "Improved mapping of tropospheric delays", *Journal of Atmospheric and Oceanic Technology*, 18(7), 1205-1213, 2001.
- [10] P. Albert, "Remote sensing of atmospheric water vapour for numerical weather prediction", PhD thesis of Ferei University of Berlin, 2004.
- [11]<http://weather.uwyo.edu/upperair/sounding.html>.



Investigation of MODIS mission capability in tropospheric delay estimation for precise point positioning

Saeid Haji-Aghajany¹, Yazdan Amerian^{2*}

1- PhD student of Geodesy, Faculty of Geodesy and Geomatics Engineering, K. N. Toosi University of Technology, Tehran, Iran

2- Assistant professor, Faculty of Geodesy and Geomatics Engineering, K. N. Toosi University of Technology, Tehran, Iran

Abstract

Tropospheric delay is always considered as one of the factors limiting the accuracy of GPS. In this paper, the three-dimensional ray tracing technique is proposed to calculate the tropospheric delay. The ability of the MODIS mission to calculate the tropospheric delay is also examined. For this purpose, an area in central Europe was selected and a MODIS acquisition on 2008/08/01 was studied. In addition, the radiosonde observations as well as ERA-Interim meteorological data were used to evaluate the obtained results. After applying corrections to the MODIS acquisition, the three-dimensional ray tracing method was implemented at the location of a GPS station using all three types of data to extract the tropospheric delay. The RMS of difference between the results of MODIS and results of radiosonde and ERA-Interim data was 1.11 and 0.89 cm respectively. Then, precise point positioning was done using the Bernese software and tropospheric correction from MODIS, radiosonde and ERA-Interim data and compared with precise coordinate of station. The accuracy of position with MODIS tropospheric correction is less than ones corrected with radiosonde and ERA-Interim tropospheric data. The results show the low efficiency of MODIS data for tropospheric correction of GPS observations compare to radiosonde and ERA-Interim data.

Key words: Tropospheric Delay, Precise Point Positioning, MODIS, Meteorological Data, Radiosonde, Three Dimensional Ray Tracing

Correspondence Address: Faculty of Geodesy and Geomatics Engineering, K. N. Toosi University of Technology, Mirdamad Cross, Vali_Asr St., Tehran, Iran
Tel : +98(21)88877071 (Ext: 302)
Email: amerian@kntu.ac.ir